дорогам, ликвидировать образование колейности, уменьшить затраты на содержание и ремонт дорог.

ЛИТЕРАТУРА

1. Бабков В.Ф., Бируля А.К., Сиденко В.М. Проходимость колесных машин по грунту. — М.: Автотрансиздат, 1959. — 193 с.

УДК 629.114:630*3-585.22.001.57

Я.И.ОСТРИКОВ, А.В.ЖУКОВ, д-р техн. наук (БТИ), Г.И.ЛИФШИЦ (НАМИ)

ИМИТАЦИОННАЯ МОДЕЛЬ ДВИЖЕНИЯ ЛЕСОВОЗНОГО АВТОПОЕЗДА С ГИДРОМЕХАНИЧЕСКОЙ ТРАНСМИССИЕЙ

По основным технико-эксплуатационным показателям применение гидромеханической трансмиссии (ГМТ) в приводах лесовозных автомобилейтягачей конструктивно и экономически предпочтительнее других ее типов [1]. Однако целесообразность их применения на лесовозных автомобилях ни экспериментально, ни теоретически не подтверждалась.

В настоящее время в практике проектирования и исследований лесовозных автопоездов используются различные по степени сложности и достоверности получаемых результатов математические модели, позволяющие проводить исследования динамических процессов с учетом влияния подвески, упругих свойств пачки деревьев, дорожных условий и т.д. [2]. Вместе с тем в технической литературе нет разработанных имитационных моделей лесовозных автопоездов, оснащенных ГМТ.

В данной работе рассматривается имитационная модель движения лесовозного автопоезда с ГМТ, учитывающая основные, происходящие в ней колебательные процессы. На рис. 1 представлена структурная динамическая схема трансмиссии с гидромеханической передачей (ГМП) лесовозного автопоезда в составе полноприводного автомобиля-тягача типа МАЗ-509А и двухосного прицепа-роспуска (ПР) типа ТМЗ-803А, нагруженных пачкой деревьев. ГМТ этого автомобиля-тягача представляет собой конструктивно измененный вариант серийной механической трансмиссии с заменой коробки передач, сцепления и органов их управления ГМП, описание и краткая техническая характеристика которой изложены в работе [1] и состоящей из гидротрансформатора (ГТ) и коробки передач (КП) с переключаемыми фрикционными муфтами (Ф;).

На основании структурной динамической схемы (рис. 1) с учетом конструктивных собенностей лесовозного автопоезда, используя обобщенную модель трансмиссии с ГМП [3] и системный подход, была разработана расчетная динамическая схема его движения (рис. 2). Данная схема позволяет учитывать влияние параметров и входных характеристик функциональных систем и узлов автопоезда и внешних условий.

Модель отражает динамическую взаимосвязь процессов, протекающих в условиях реальной среды, и учитывает совокупность зависимостей между

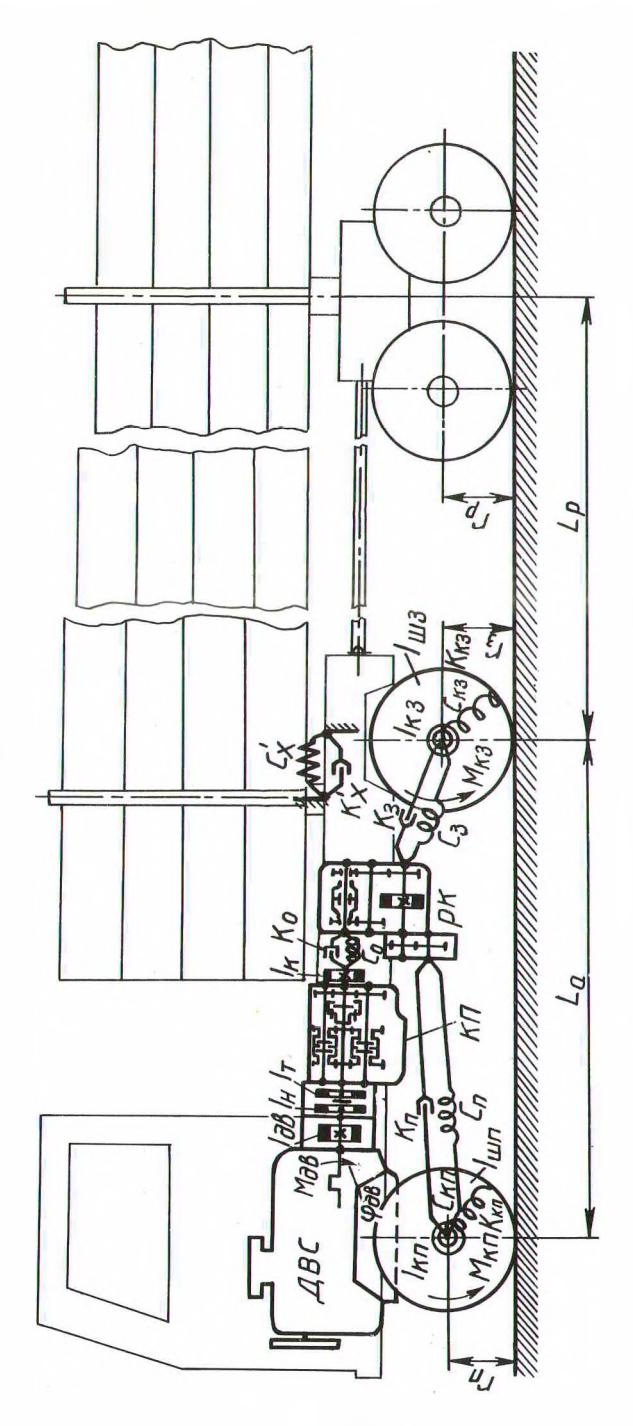


Рис. 1. Структурная динамическая схема трансмиссии с ГМП лесовозного автопоезда.

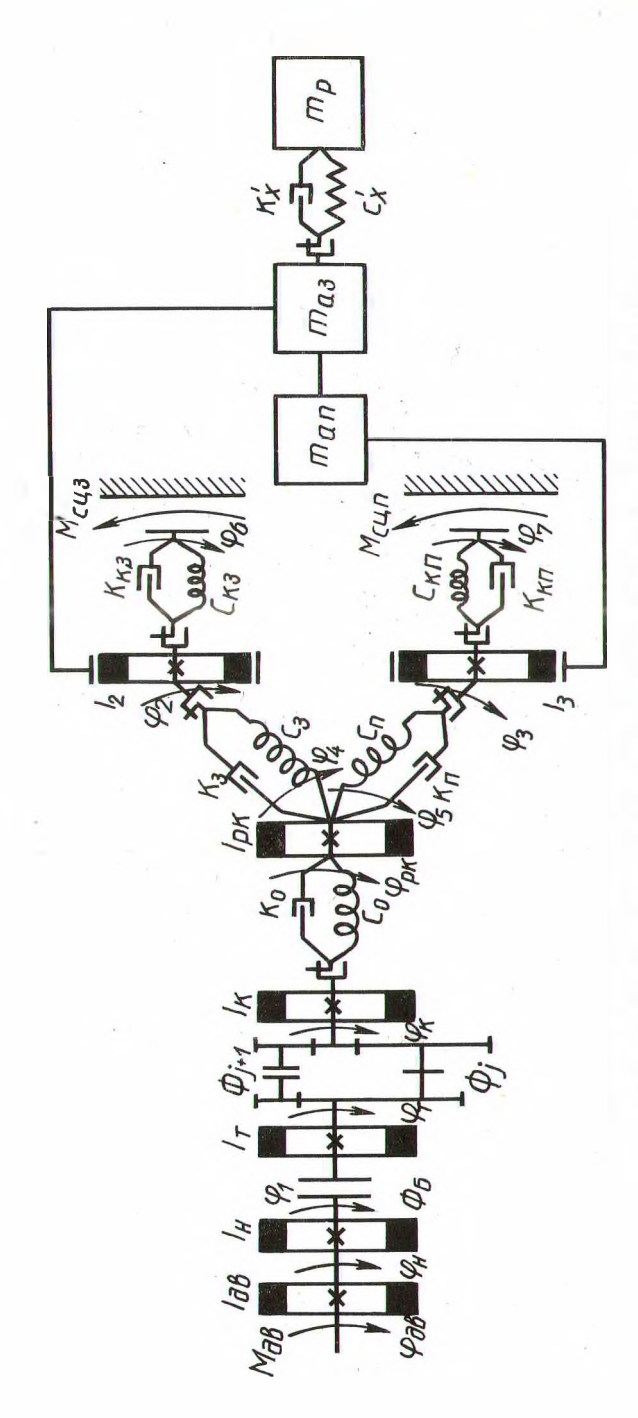


Рис. 2. Расчетная динамическая схема движения лесовозного автопоезда с ГМП.

параметрами и выходными характеристиками отдельных узлов автопоезда и его выходными характеристиками в целом, включая влияние этих характеристик на входные. Она также дает возможность раздельного учета характеристик работы мостов тягача, включая буксование колес, и валопроводов в квазистационарных и неустановившихся режимах движения и позволяет производить моделирование в истинных координатах.

Сложные специфические условия эксплуатации лесовозных автопоездов определяют характер режима их движения, который является в основном неустановившимся со следующими основными фазами: разгон, установившееся движение, замедление и торможение. В то же время, например, движение автопоезда с ГМП в фазе разгона, как наиболее для него характерной, можно разбить на несколько этапов: трогание с места, разгон в режиме ГТ, переключение ступеней в КП, блокировка ГТ, разгон с заблокированным ГТ, что следует учитывать при составлении его математической модели.

В представленной математической модели движения лесовозного автопоезда с ГМТ все его этапы описываются единой системой дифференциальных уравнений с переменной структурой:

$$I_{1} \dot{\varphi}_{1} = M_{AB} \left(\dot{\varphi}_{AB}; z \right) - M_{H} \left(\dot{\varphi}_{H}; \lambda_{H} \right), \tag{1}$$

где $I_1 = I_{_{_{\scriptstyle B}\, B}} + I_{_{_{\scriptstyle H}}}; \; \dot{\varphi}_1 = \dot{\varphi}_{_{_{\scriptstyle B}\, B}} = \; \dot{\varphi}_{_{_{\scriptstyle H}}}; \; M_{_{_{\scriptstyle H}}} = \lambda_{_{_{\scriptstyle H}}}\gamma/g \; (30/\pi)^{\; 2} D_a^5 \varphi_{_{_{\scriptstyle H}}}^2 \; ;$

$$M_{\tau} = M_{\mu} K_{r}; K_{r} = K(U_{r}); \lambda_{\mu} = \lambda(U_{r}); U_{r} = \dot{\phi}_{\tau} / \dot{\phi}_{\mu};$$
 (2)

$$I_{\tau}\ddot{\varphi}_{\tau} = M_{\tau} - U'_{\tau,i} M_{i} - U'_{\tau,i+1}M_{i+1}; \tag{3}$$

$$I_{\kappa} \ddot{\varphi}_{\kappa} = -C_{o} \left(\varphi_{\kappa} - U_{p\kappa} \varphi_{p\kappa} \right) - K_{o} \left(\dot{\varphi}_{\kappa} - U_{p\kappa} \dot{\varphi}_{p\kappa} \right) + U_{\kappa,j}' M_{j} + U_{\kappa,i+1}' M_{i+1};$$

$$(4)$$

$$\begin{vmatrix} I_{p\kappa} \ddot{\varphi}_{p\kappa} = U_{p\kappa} C_{o} (\varphi_{\kappa} - U_{p\kappa} \varphi_{p\kappa}) + U_{p\kappa} K_{o} (\dot{\varphi}_{\kappa} - U_{p\kappa} \dot{\varphi}_{p\kappa}) - C_{3} (\varphi_{4} - U_{0} \dot{\varphi}_{2}) - C_{n} (\varphi_{5} - U_{0} \varphi_{3}) - K_{n} (\dot{\varphi}_{5} - U_{0} \dot{\varphi}_{3});$$

$$|I_{2} \ddot{\varphi}_{2} = C_{3}^{7} (\varphi_{4} - U_{0} \varphi_{2}) + K_{3}^{7} (\dot{\varphi}_{4} - U_{0} \dot{\varphi}_{2}) - C_{\kappa 3} (\varphi_{2} - \varphi_{6}) - (5)$$

$$- K_{\kappa 3} (\dot{\varphi}_{2} - \dot{\varphi}_{6});$$

$$|I_{3} \ddot{\varphi}_{3} = C_{n}^{7} (\varphi_{5} - U_{0} \varphi_{3}) + K_{n}^{7} (\dot{\varphi}_{5} - U_{0} \dot{\varphi}_{3}) - C_{\kappa n} (\varphi_{3} - \varphi_{7}) - (5)$$

$$- K_{\kappa n} (\dot{\varphi}_{3} - \dot{\varphi}_{7}),$$

где
$$I_2 = I_{K3} + I_{M3}; I_3 = I_{K\Pi} + I_{M\Pi};$$

$$m_a \ddot{X}_a = (M_{CU3} + M_{CU\Pi})/r - m_a g (f_a \cos \alpha + \sin \alpha) - K_{\nu a} F_a \dot{X}_a^2 -$$

$$-C'_{x}(X_{a}-X_{p})-K'_{x}(\mathring{X}_{a}-\mathring{X}_{p}),$$
(6)

где $r = r_{\Pi} = r_{3}$;

$$\begin{split} & m_{p} \ddot{X}_{p} = C_{x}' (X_{a} - X_{p}) + K_{x}' (X_{a} - X_{p}) - m_{p} g (f_{p} \cos \alpha + \sin \alpha) - \\ & - K_{\nu p} F_{p} X_{p}^{2}; \end{split} \tag{7}$$

$$M_{\text{cu}_3} = C_{\text{K3}} (\varphi_2 - \varphi_6); \quad M_{\text{cu}_1} = C_{\text{Kn}} (\varphi_3 - \varphi_7); \tag{8}$$

$$\varphi_{\rm p\kappa} = (\varphi_4 + \varphi_5) / 2 U_{\rm p\kappa}; \ d_{\rm n} C_{\rm n} (\varphi_5 - \varphi_3 U_0) - d_{\rm s} C_{\rm s} (\varphi_4 - \varphi_2 U_0). \tag{9}$$

Здесь $I_{\text{дв}}$ — момент инерции вращающихся частей двигателя (ДВС) и маховика; $I_{\text{н}}$ — момент инерции насосного колеса ГТ и связанных с ним ведущих деталей фрикциона блокировки ($\Phi_{\sf S}$); ${\sf I}_{\sf T}$ — момент инерции турбинного колеса ГТ и связанных с ним ведущих деталей КП и ведомых деталей Φ_{5} ; I — момент инерции выходного вала КП и приведенные к этому валу моменты инерции ведомых частей КП и части основного карданного вала; І момент инерции выходного вала раздаточной коробки (РК) и приведенные к этому валу моменты инерции ее входного и промежуточного валов, части основного, заднего и переднего карданных валов и связанных с ними деталей; І суммарные моменты инерции колес заднего и переднего ведущих мостов и приведенные к ним моменты инерции соответствующих колесных редукторов, главных передач, полуосей и части карданных валов со связанными с ними деталями (в дальнейших обозначениях индекс "з " указывает на отношение члена уравнения к движению заднего, а "п" - переднего ведущих мостов тягача); І ____ суммарные моменты инерции резинокордных оболочек шин мостов; m_a, m_p — массы автомобиля-тягача и ПР с приходящимися на них частями нагрузки; r c o , r c o соответственно крутильная жесткость и коэффициент демпфирования основного карданного вала; C_3 и K_3 , C_n и K_n соответственно приведенные суммарные крутильные жесткости и коэффициенты демпфирования участков трансмиссии "раздаточная коробка - колесо"; $C_{\kappa 3}$ и $K_{\kappa 3}$, $C_{\kappa n}$ и $K_{\kappa n}$ — соответственно суммарные крутильные жесткости и коэффициенты демпфирования резинокордных оболочек шин мостов; С и К' - соответственно суммарные жесткость и коэффициент демпфирования продольной связи тягача с ПР; $\varphi_i, \dot{\psi}_i - \text{соответственно}$ угловые перемещения, частоты вращения и угловые ускорения соответствующих валопроводов, системы; X_i , X_i , X_i — соответственно линейные перемещения, скорости и ускорения автомобиля-тягача (а) и ПР (р); U, - передаточные отношения соответствующих трансформирующих узлов системы; ГТ (г), РК (рк), ведущих мостов (0); $M_{_{\rm NB}}$, $M_{_{\rm I}}$, $M_{_{\rm T}}$ — соответственно крутящие моменты двигателя, на насосном и турбинном валах ГТ; М_і, М_{і+1} — моменты трения на переключаемых фрикционных муфтах КП; М сиз - моменты сцепления мостов автомобиля-тягача; d - коэффициент, характеризующий тип межосевого дифференциала РК, причем $d_2 = 1 - d_1$.

Кроме того, уравнения включают также конструктивные параметры автопоезда—базы: автомобиля-тягача (L_a) и ПР (L_p), площади лобового сопротивления воздуху автомобиля (F_a) и ПР с пачкой деревьев (F_p), радиус каче-

ния ведущих колес (r), активный диаметр (D_a) и плотность (γ /g) рабочей жидкости ГТ, его силовые (K_r) и нагрузочные характеристики (λ_H), параметры фрикционных муфт КП — размеры дисков, число пар и закон трения, а также параметры внешней среды — угол наклона дороги (α), коэффициент сопротивления качению (f), коэффициент сцепления шин с дорогой; и воздействия — законы изменения уровня подачи топлива (z) и т.д.

Система содержит уравнения движения дизельного двигателя с насосной частью ГТ (1); зависимости (2), характеризующие внешние характеристики ГТ, и уравнение движения (3) его турбинной части с турбинным валом КП. Модель КП представлена двумя дифференциальными уравнениями (3) и (4), описывающими коробку с двумя степенями свободы любой структуры и сложности. Особенности схемы и конструкции КП учитываются коэффициентами передаточных отношений U. Переменная структура КП, состояние фрикционных муфт [4], несущие и предельные моменты на переключаемых фрикционных муфтах учитываются специальными релейными условиями [3]. Модель включает в себя также уравнения движения привода ведущих колес (5), общей тяговой динамики автопоезда (6) и (7), движителей (8) и дифференциала раздаточной коробки (9). Переменная структура работы движителей учитывается специальными релейными условиями.

Использование приведенной модели позволяет оценить влияние характеристик ГМП на скоростные, динамические, экономические и нагрузочные характеристики движения автопоезда в груженом его состоянии при различных параметрах внешней среды и воздействия. Кроме того, учитывая специфичность условий эксплуатации лесовозного автопоезда, модель позволяет получить аналогичные характеристики при его движении с погруженным на шасси тягача прицепом-роспуском. Для этого следует исключить из математической модели уравнение (7) и два последних члена уравнения (6), а массу прицепа-роспуска без нагрузки привести к массе тягача без нагрузки.

ПИТЕРАТУРА

1. Жуков А.В., Тихонов А.Ф., Остриков Я.И. Перспективы применения гидромеханических передач на лесовозных автопоездах. — В кн.: Механизация лесоразработок и транспорт леса. Минск: Выш. шк., 1983, вып. 13, с. 90—96. 2. Жуков А.В., Кадолко Л.И. Основы проектирования специальных лесных машин с учетом их колебаний. — Минск: Наука и техника, 1978. — 264 с. 3. Лифшиц Г.И. Обобщенная модель коробки передач в динамической расчетной схеме и программе расчета процессов движения транспортной машины. — В кн.: Активная и пассивная безопасность и надежность автомобиля. М.: МАМИ, 1984, с. 12—20. 4. Лифшиц Г.И. Автоматизированный динамический анализ процесса переключения передач фрикционными муфтами. М., 1983, — 11 с. Рукопись деп. в ВИНИТИ 15.07.83 № 911-ап-Д 83.